

UNIVERSIDAD TECNOLÓGICA NACIONAL  
FACULTAD REGIONAL CÓRDOBA  
INGENIERÍA ELECTRÓNICA



MEDIDAS ELECTRÓNICAS I

## **Trabajo Práctico de Laboratorio N°7**

**VOLTÍMETROS DIGITALES CON DETECTORES DE  
VALOR EFICAZ VERDADERO**

<b>ALUMNOS</b>	:	Carreño Marin, Sebastian	83497
		Juarez, Daniel	79111
		Torres, Heber	84640
<b>CURSO</b>	:	4R1	
<b>DOCENTES</b>	:	Ing. Centeno, Carlos	
		Ing. Salamero, Martin	
		Ing. Guanuco, Luis	

**CÓRDOBA, ARGENTINA**  
**4 de agosto de 2022**



## CONTENIDO

<b>1. Introducción</b>	<b>2</b>
<b>2. Marco Teórico</b>	<b>2</b>
<b>3. Actividad Práctica</b>	<b>3</b>
3.1. Medición de tensión eficaz de ondas no sinusoidales . . . . .	3
3.1.1. En una onda cuadrada . . . . .	3
3.1.2. En una onda triangular . . . . .	4
3.2. Medición de la tensión eficaz de una onda proveniente de un circuito de control de ángulo de conducción . . . . .	5
3.3. Medición de factor de potencia en un circuito con control de ángulo de conducción . . . . .	6
<b>4. Conclusiones</b>	<b>7</b>

## **1. Introducción**

## **2. Marco Teórico**

### 3. Actividad Práctica

Se propone como actividad realizar mediciones de tensión en formas de onda no senoidales, empezando por una triangular y una cuadrada, para luego terminar con una proveniente de un circuito controlador del ángulo de disparo. Para ello, se hace uso de los siguientes insumos:

- Multímetro Escort EDM-82B con detector del valor medio del módulo
- Multímetro UT61D con detector True RMS
- Generador de funciones GFG-3015
- Circuito de control de disparo con triac y diac
- Transformador de aislamiento
- Osciloscopio digital Rigol DS1052E
- Medidor digital de potencia y factor de potencia

Es importante y obligatorio el uso de un **transformador de aislamiento**, el cual posee una de relación 1:1, y tiene como función crear una barrera física de aislamiento entre los equipos/circuitos con los cuales se trabaja y la red. Esto se justifica con que, la diferencia de potencial entre *neutro* y *tierra* de la red no es cero (idealmente debería serlo), para este caso, dicho valor es de aproximadamente **1,27 V**. Este valor generaría un flujo de corriente a través del osciloscopio directo a la *tierra*, lo cual podría dañar el instrumento, y además, provocaría que el diferencial se active.

#### 3.1. Medición de tensión eficaz de ondas no sinusoidales

Haciendo uso del generador de funciones se setean señales de forma cuadrada y triangular de una amplitud de  $5 V_{pp}$  y frecuencia de  $50 \text{ Hz}$ . Luego, se mide el valor de tensión con ambos multímetros, se calcula el error, y finalmente, se tabula.

##### 3.1.1. En una onda cuadrada

En la Figura 1 se puede observar la señal cuadrada seteada. Luego, en la Figura 2 se observa la medición de tensión con ambos multímetros.

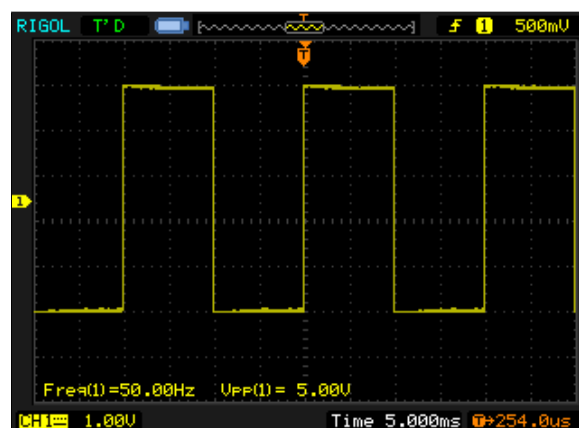
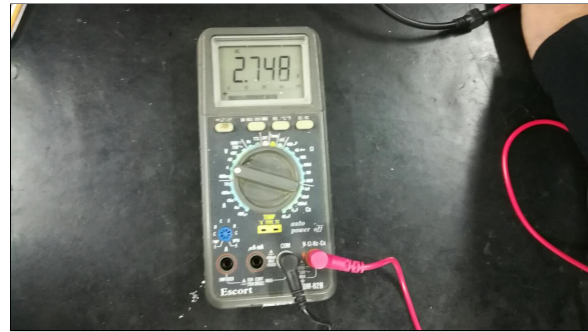


Figura 1: Señal cuadrada a medir.



(a) Medición  $V_{RMS}$ .



(b) Medición  $V_{|med|}$ .

Figura 2: Mediciones de la señal cuadrada.

Luego, la cota de corrección para el multímetro de respuesta al valor medio del módulo es

$$e_{cuad}[\%] = \frac{V_{RMS} - V_{|med|}}{V_{|med|}} \cdot 100 = \frac{2,450\text{ V} - 2,748\text{ V}}{2,748\text{ V}} \cdot 100 \quad \therefore \boxed{e_{cuad} = -10,84\%}$$

### 3.1.2. En una onda triangular

En la Figura 3 se puede observar la señal triangular seteada. Luego, en la Figura 4 se observa la medición de tensión con ambos multímetros.

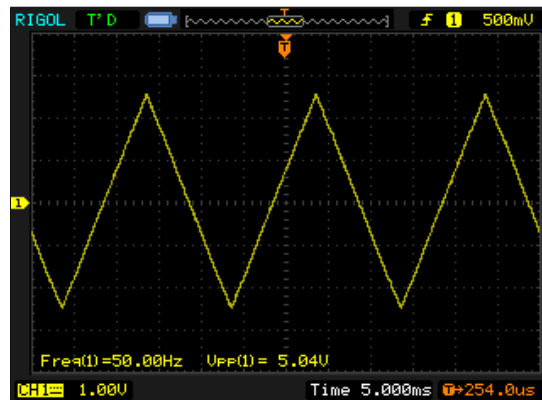


Figura 3: Señal triangular a medir.



(a) Medición  $V_{RMS}$ .



(b) Medición  $V_{|med|}$ .

Figura 4: Mediciones de la señal triangular.

Luego, la cota de corrección para el multímetro de respuesta al valor medio del módulo es

$$e_{tri}[\%] = \frac{V_{RMS} - V_{|med|}}{V_{|med|}} \cdot 100 = \frac{1,452 \text{ V} - 1,421 \text{ V}}{1,421 \text{ V}} \cdot 100 \quad \therefore \quad \boxed{e_{tri} = +2,18\%}$$

Los resultados de este experimento se encuentran consignados en la Tabla 1.

Señal	Lectura RMS [V]	Lectura  med  [V]	e [%]
<b>Cuadrada (50 Hz – 5 V<sub>pp</sub>)</b>	2,450	2,748	-10,84
<b>Triangular (50 Hz – 5 V<sub>pp</sub>)</b>	1,452	1,421	+2,18

Tabla 1: Tabla de mediciones y cotas de corrección.

### 3.2. Medición de la tensión eficaz de una onda proveniente de un circuito de control de ángulo de conducción

Para la siguiente parte del experimento, se utiliza un circuito de medición de ángulo de disparo. El mismo se enseña en la Figura 5.

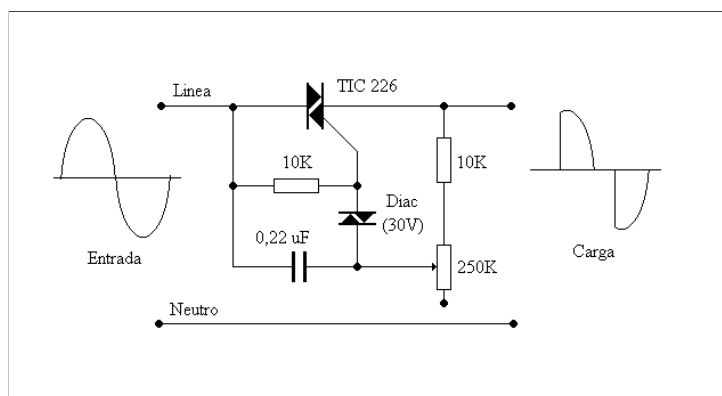


Figura 5: Esquema del circuito de control de ángulo de disparo.

El procedimiento consiste en medir la tensión de entrada al circuito, y medir la de salida sobre la carga, tomando lecturas al variar el ángulo de conducción con un multímetro que mide True RMS y otro de valor medio. Luego se debe confeccionar un gráfico normalizado de tensión de salida respecto de la entrada, con las curvas obtenidas con cada instrumento.

El esquema de conexión se presenta a continuación en la Figura 6.

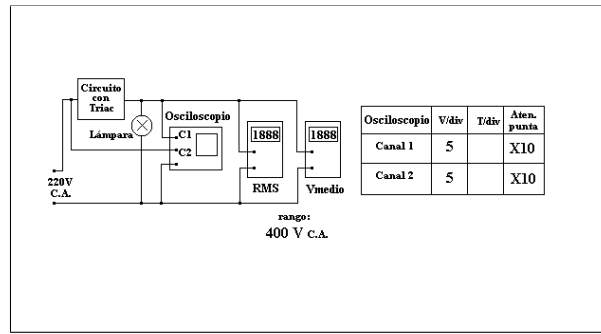


Figura 6: Esquema de conexión para el relevamiento de curva.

Se presentan a continuación los valores tabulados.

Fase	$V_{O1}$ [V]	$V_{O2}$ [V]	$(\frac{V_{O1}}{V_{in}})$ [V]	$(\frac{V_{O2}}{V_{in}})$ [V]
0°	234	234	1,064	1,064
36°	222,8	211,6	1,013	0,962
72°	194,5	158,6	0,884	0,721
108°	135,8	189,6	0,617	0,407
144°	58,77	30,0	0,267	0,136
180°	0	0	0	0

Finalmente, se confecciona un gráfico con los valores obtenidos, donde se visualizan las curvas de los instrumentos.

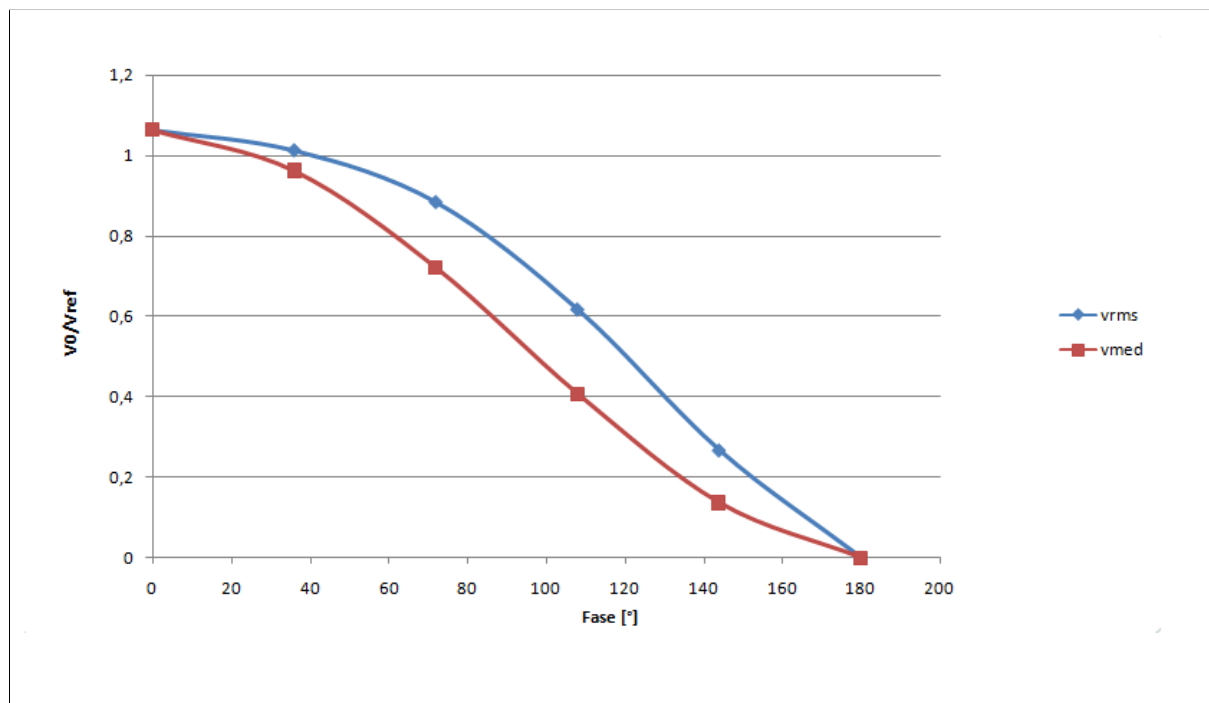


Figura 7: Gráfico obtenido.

### 3.3. Medición de factor de potencia en un circuito con control de ángulo de conducción



## 4. Conclusiones

En relación con el primer experimento realizado en este trabajo práctico, se procede a obtener de forma analítica los valores de las cotas de corrección de las mediciones realizadas con el multímetro con respuesta al valor medio del módulo de la tensión.

Se sabe que los multímetros de respuesta al valor medio del módulo realizan una corrección mediante una cota para obtener el valor eficaz de la medición. Para obtener dicha cota, se hace uso de los siguientes valores representativos de una **señal senoidal**

$$V_{RMS_{sin}} = \frac{V_{m\acute{a}x}}{\sqrt{2}} \quad ; \quad V_{|med|_{sin}} = \frac{2 V_{m\acute{a}x}}{\pi}.$$

Luego, la cota de corrección (factor de forma) se obtiene relacionando las expresiones anteriores

$$k = \frac{V_{RMS_{sin}}}{V_{|med|_{sin}}} = \frac{\frac{V_{m\acute{a}x}}{\sqrt{2}}}{\frac{2 V_{m\acute{a}x}}{\pi}} \implies k = 1,1107.$$

El valor antes encontrado, es el que permite saber que el multímetro de respuesta al valor medio del módulo muestra en el display el resultado de  $V_{lectura} = 1,1102 \cdot V_{|med|}$ .

Teniendo en cuenta lo mencionado anteriormente, y que para una señal cuadrada su valor eficaz y valor medio de módulo se expresan mediante

$$V_{RMS_{cuad}} = V_{m\acute{a}x} \quad ; \quad V_{|med|_{cuad}} = V_{m\acute{a}x},$$

entonces, la cota de corrección para la medición de la señal cuadrada es

$$e_{cuad}[\%] = \frac{V_{RMS_{cuad}} - k \cdot V_{|med|_{cuad}}}{k \cdot V_{|med|_{cuad}}} \cdot 100 = \frac{V_{m\acute{a}x} - 1,1107 V_{m\acute{a}x}}{1,1107 V_{m\acute{a}x}} \cdot 100$$

$$\therefore \boxed{e_{cuad}[\%] = -9,97\%}.$$

Siguiendo la misma línea, para una señal triangular sus valor eficaz y valor medio de módulo se expresan mediante

$$V_{RMS_{tri}} = \frac{V_{m\acute{a}x}}{\sqrt{3}} \quad ; \quad V_{|med|_{tri}} = \frac{V_{m\acute{a}x}}{2},$$

entonces, la cota de corrección para la medición de la señal triangular es

$$e_{tri}[\%] = \frac{V_{RMS_{tri}} - k \cdot V_{|med|_{tri}}}{k \cdot V_{|med|_{tri}}} \cdot 100 = \frac{\frac{V_{m\acute{a}x}}{\sqrt{3}} - 1,1107 \frac{V_{m\acute{a}x}}{2}}{1,1107 \frac{V_{m\acute{a}x}}{2}} \cdot 100$$

$$\therefore \boxed{e_{tri}[\%] = +3,96\%}.$$

En la Tabla 2 se puede observar la comparación entre valores prácticos y teóricos de las mediciones realizadas con el multímetro de respuesta al valor medio del módulo. Los valores presentan diferencias entre sí, en especial en el caso de la señal triangular. Esto se puede explicar en base a que el instrumento no está diseñado para medir este tipo de señales de forma correcta.

Señal	Error práctico [ %]	Error teórico [ %]	Factor de forma
Cuadrada	-10,84	-9,97	1
Triangular	+2,18	+3,96	1,1547

Tabla 2: Tabla de comparación de cotas.